



Военно-инженерный институт  
Учебный военный центр  
Отдел «Радиолокационного вооружения РТВ ВВС»

Дисциплина  
«РАДИОЛОКАЦИОННЫЕ СИСТЕМЫ»

Часть 1. Теоретические основы радиолокации

# Лекция №5

МОДЕЛИ И ХАРАКТЕРИСТИКИ ОТРАЖЕННЫХ СИГНАЛОВ,  
ШУМОВ И ПОМЕХ

# *Цель лекции:*

Дать характеристику отраженным сигналам, шумам и помехам, раскрыть содержание основных физических факторов, определяющих параметры и модели их формального представления.

# ВОПРОСЫ ЛЕКЦИИ

1. Модели и характеристики отраженных сигналов.
2. Статистические характеристики шумов и помех.
3. Структура и математическая модель мешающих отражений.

**3**

# ***Литература: Основная***

# *Вопрос 1*

Модели и характеристики  
отраженных сигналов

**5** Информацию о РЛЦ получают из принятого отраженного от цели радиолокационного сигнала. При теоретическом решении задач радиолокации требуется математический аналог реального сигнала. В этой связи в радиолокации рассматривают ряд моделей отраженного сигнала, позволяющих в той или иной степени учитывать его параметры.

### **МАТЕМАТИЧЕСКИЕ МОДЕЛИ ОТРАЖЕННОГО СИГНАЛА**

В зависимости от характера изменения параметров сигнала во времени различают:

**а) сигналы с полностью известными параметрами**

$$x(t) = X(t) \cos [\omega_0 t + \varphi(t)];$$

**б) сигналы со случайной начальной фазой:**

$$x(t, \beta) = X(t) \cos [\omega_0 t + \varphi(t) + \beta],$$

где  $\beta$  - случайная начальная фаза модулирующего множителя;

6

в) сигналы со случайной амплитудой и начальной фазой

$$x(t, \beta, b) = b \cdot X(t) \cos[\omega_0 t + \varphi(t) + \beta],$$

где  $b, \beta$  - амплитуда и фаза случайного модулирующего множителя.

В общем случае параметр является функцией времени,

т.е.  $b = b(t)$ , и рассматривают комплексный модулирующий множитель ;

$$B(t) = b(t) e^{j\beta}$$

г) сигналы вида пачки из  $M$  флукутуирующих по амплитуде радиоимпульсов со случайными начальными фазами

$$x(t, \beta_1, \beta_2, \dots, \beta_N, b_1, b_2, \dots, b_N) = \sum_{k=1}^M b_k X_k(t) \cos[\omega_0 t + \varphi_k(t) + \beta_k].$$

По характеру временной структуры отраженных сигналов различают **когерентные** и **некогерентные** сигналы.

К когерентным сигналам относят колебания с жестко заданной структурой (жестко связанными временными элементами).

Сигналы с независимыми амплитудно-фазовыми множителями (пачка флукутуирующих по амплитуде радиоимпульсов со случайными начальными фазами) считают уже некогерентными.

7

Для математического описания случайных параметров вводят плотности вероятностей. Фаза  $\beta$  обычно распределена по равномерному закону в пределах  $0, 2\pi$ , т.е.

$$P(\beta) = \begin{cases} \frac{1}{2\pi}, & 0 \leq \beta \leq 2\pi \\ 0 & \beta < 0, \beta > 2\pi \end{cases}.$$

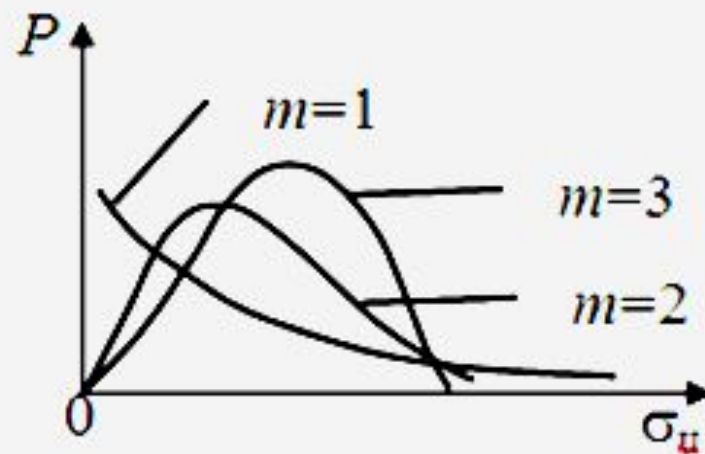
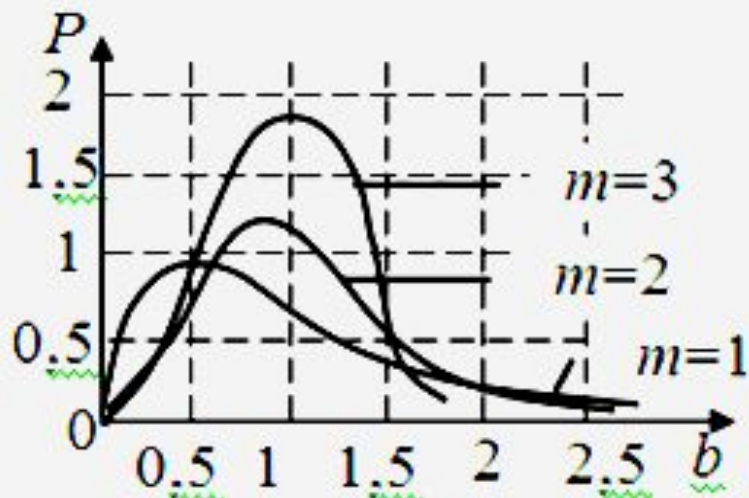
Амплитудные флуктуации носят более сложный характер и для различных целей могут описываться различными законами распределения. Одним из них, охватывающим широкий класс РЛЦ, является закон Релея

$$P(b) = \begin{cases} 2b \exp(-b^2), & b \geq 0 \\ 0, & b < 0 \end{cases}.$$

Этот закон хорошо описывает флуктуации амплитуды сигнала, отраженного от целей, имеющих большое число «блестящих точек» примерно одинаковой интенсивности.

8

На рис. 4 представлены графики законов распределения  $P$  ( $b$ ) и  $P(\sigma_{\text{ц}})$  соответственно



При  $m = 1$   $P(\sigma_{\text{ц}})$  имеет экспоненциальное распределение. Наряду с указанными законами для описания, например, распределения  $b$  используют логарифмически нормальное распределение, распределение Джонсона и др.

Если цель облучается сравнительно длительное время, то необходимо учитывать зависимость флуктуаций принимаемого сигнала от времени. Для этого вводят автокорреляционную функцию (АКФ) и энергетический спектр флуктуирующего сигнала.

## АВТОКОРРЕЛЯЦИОННАЯ ФУНКЦИЯ И ЭНЕРГЕТИЧЕСКИЙ СПЕКТР ФЛЮКТУАЦИЙ ОТРАЖЕННОГО СИГНАЛА

Эти характеристики показывают степень случайности флуктуаций отраженного сигнала, т.е. модулирующего множителя  $(t)$ . АКФ задается соотношением

$$R_B(\tau) = M \left[ B(t) \cdot B^*(t - \tau) \right] = \lim_{T \rightarrow \infty} \frac{1}{T} \int_0^T B(t) \cdot B^*(t - \tau) dt,$$

где  $B(t), B^*(t)$  - комплексно - сопряженные значения модулирующего множителя;

$T$  - интервал усреднения. Вещественная АКФ равна  $\text{Re}\{R_B(\tau)\}$ .

Вводят также нормированную АКФ

$$\rho_B(\tau) = \frac{R_B(\tau)}{R_B(0)}.$$

Энергетический спектр модулирующего множителя находится по  $R_B(\tau)$ :

$$S_B(f) = \int_{-\infty}^{\infty} R_B(\tau) e^{-j2\pi f\tau} d\tau.$$

10 При отражении сигнала от движущейся цели появляются флуктуации амплитуды и фазы и происходит расширение спектра сигнала. Поясним это на примере облучения цели монохроматическим сигналом, имеющим одну спектральную составляющую  $f_0$  (рис.5).

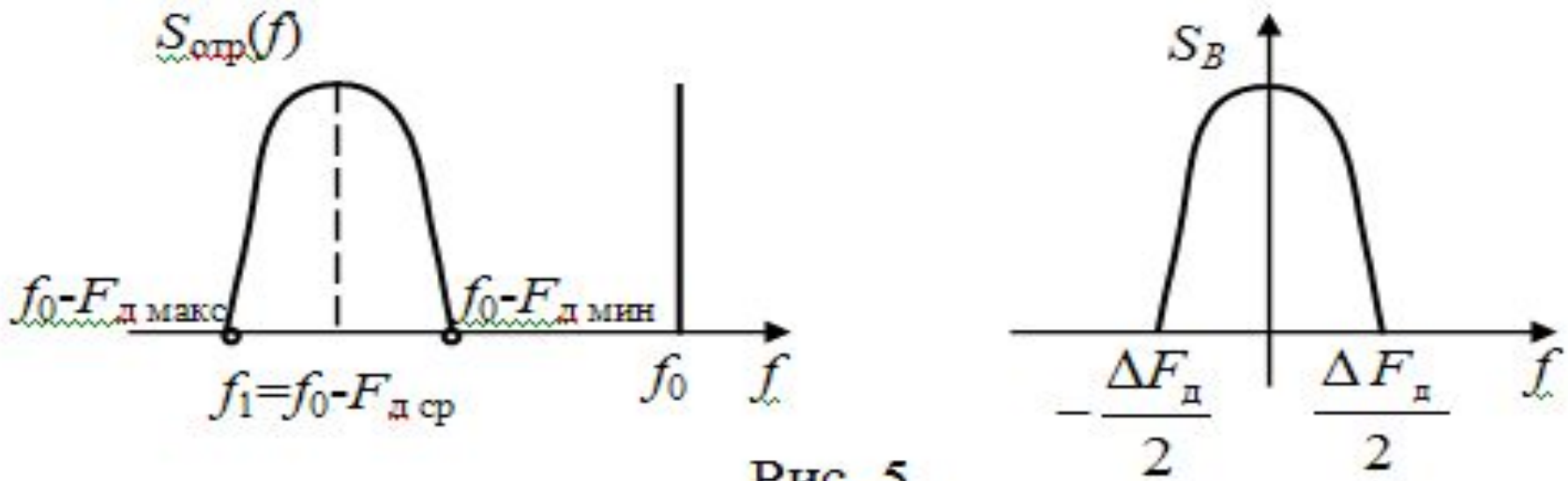


Рис. 5.

С учетом модуляции спектр отраженного сигнала  $S_{отр}(f)$  имеет среднюю частоту  $f_1 = f_0 - F_{д ср}$  и ширину  $\Delta F_{д} = F_{д макс} - F_{д мин}$ .

Если в пределах полосы  $\Delta F_{д}$  в качестве примера положить  $S_B(f) = S_0 = \text{const}$ , то

$$R_B(\tau) = R_B(\tau) = \int_{-\infty}^{\infty} S_B(f) e^{j2\pi f\tau} df = S_o \int_{-\frac{\Delta F_d}{2}}^{\frac{\Delta F_d}{2}} e^{j2\pi f\tau} df$$

$$R_B(0) = S_o \Delta F, \quad |\rho_B(\tau)| = \rho_B(\tau) = \frac{\sin \pi \Delta F_d \tau}{\pi \Delta F_d \tau}.$$

Кривая  $\rho_B(\tau)$  для рассматриваемого случая представлена на рис.6.

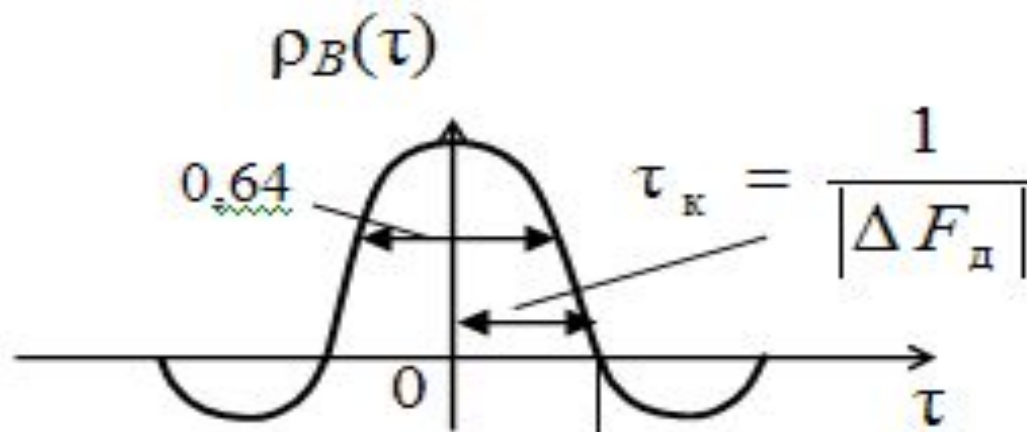


Рис. 6.

параметр  $\tau_k = \frac{1}{\Delta F_d}$  может быть назван временем корреляции. Время корреляции связано с шириной энергетического спектра модулирующего множителя обратно пропорциональной зависимостью. В случае сильной статистической связи последовательных значений сигнала имеет место узкий спектр флюктуаций и наоборот.

Функции автокорреляции широко используются при анализе влияния флюктуаций на обнаружение и измерение параметров радиолокационных сигналов.

# Выводы по первому вопросу

1. Таким образом, реальный отраженный сигнал имеет случайные амплитуду и фазу. Флюктуационные составляющие параметров отраженного сигнала называют шумом цели.
2. Для полного описания отраженного сигнала необходимо знать плотность распределения его амплитуд и фаз. Важное значение для анализа погрешности сигналов и выбора схем их обработки имеют автокорреляционная функция и энергетический спектр отраженного сигнала.

# *Вопрос 2*

СТАТИСТИЧЕСКИЕ ХАРАКТЕРИСТИКИ  
ШУМОВ И ПОМЕХ



Флуктуационная помеха является наиболее распространенной в радиолокации. К ней относятся внутренний шум приемного устройства РЛС и наиболее распространенный вид преднамеренных помех - шумовые помехи.

Одномерная плотность распределения  $y(t) = n(t)$  определяется выражением

$$p_{\Pi}(n) = \frac{1}{\sqrt{2\pi} \sigma} e^{-\frac{n^2}{2\sigma^2}}$$

где  $\sigma^2$  - дисперсия (мощность) помехи.

Важной энергетической характеристикой шумов является спектральная плотность мощности.

Спектральная плотность мощности внутренних шумов определяется соотношением

$$N_0 = kT_0(K_{\text{ш}} + t_a - 1)$$

где  $k = 1,38 \cdot 10^{-23}$  Дж/град – постоянная Больцмана;

$T_0$  - абсолютная температура в град. Кельвина (обычно  $T_0 = 300$  К);

$K_{\text{ш}}$  - коэффициент шума приемника;

$t_a = T_a / T_0$  - относительная шумовая температура антенны;

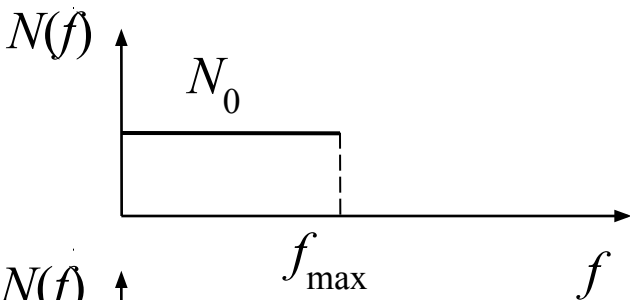
$T_a$  – абсолютная шумовая температура антенны.

При  $t_a = 1$  или  $K_{\text{ш}} > (t_a - 1)$  получим  $N_0 = kT_0 K_{\text{ш}}$ .

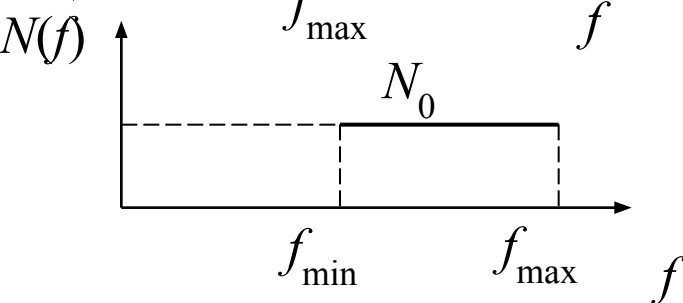
Для решения задач синтеза и анализа в радиолокации используют две основные модели флуктуационной помехи: квазибелый и белый шум.

### Квазибелый шум.

Квазибелым шумом называют шум, имеющий постоянную спектральную плотность мощности в полосе частот (рис.8):



$$N(f) = N_0, \text{ при } 0 \leq f \leq f_{\max}$$



$$N(f) = N_0 \text{ при } f_{\min} \leq f \leq f_{\max}$$

Рис. 8.

7 Скорость изменения мгновенных значений помехи определяется корреляционной функцией

$$R(\tau) = \lim_{T \rightarrow \infty} \frac{1}{T} \int_0^T n(t)n(t-\tau)dt = R(0)\rho(\tau),$$

где  $\rho(\tau)$  - нормированная корреляционная функция.

Или, учитывая связь  $N(f)$  и  $R(\tau)$ , запишем

$$R(\tau) = \int_0^{\infty} N(f) \cos 2\pi f \tau df.$$

Подставляя поочередно в последнее выражение значения  $N(f)$  из (2) и (3) получим соответственно

$$R(\tau) = \int_0^{f_{\max}} N_0 \cos 2\pi f \tau = N_0 f_{\max} \frac{\sin 2\pi f_{\max} \tau}{2\pi f_{\max} \tau} \quad (4)$$

и

$$R(\tau) = N_0 \int_{f_{\min}}^{f_{\max}} \cos 2\pi f \tau df = N_0 \frac{\sin \pi \Pi \tau}{\pi \Pi \tau} \cos 2\pi f_0 \tau, \quad (5)$$

Из анализа последних выражений следует, что

$$R(0) = \sigma_n^2 = N_0 f_{\max} N \Pi \quad (0) = \sigma_n^2 = 0 ,$$

а нормированные корреляционные функции имеют вид  $\sin \frac{x}{x}$ , (рис 9).

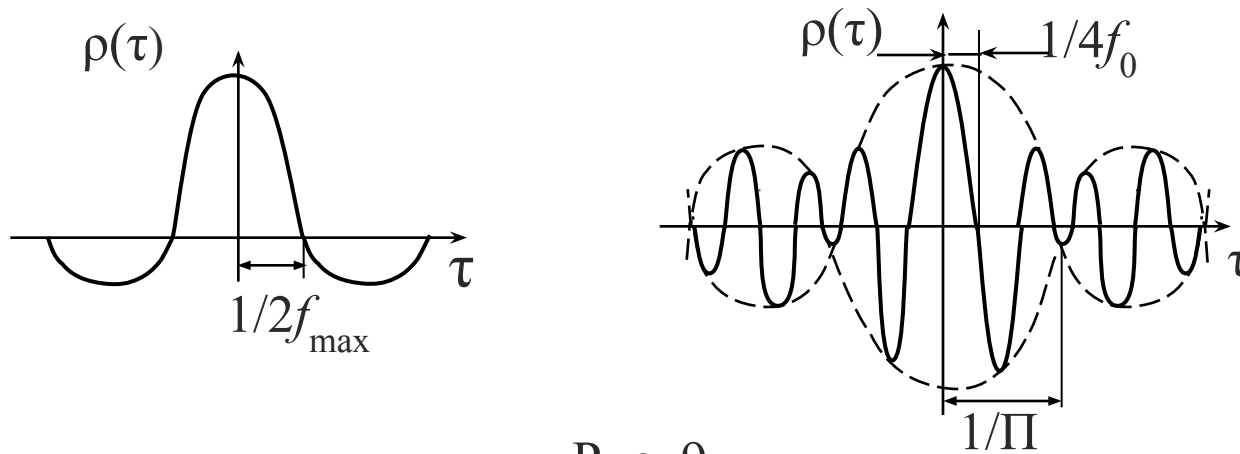


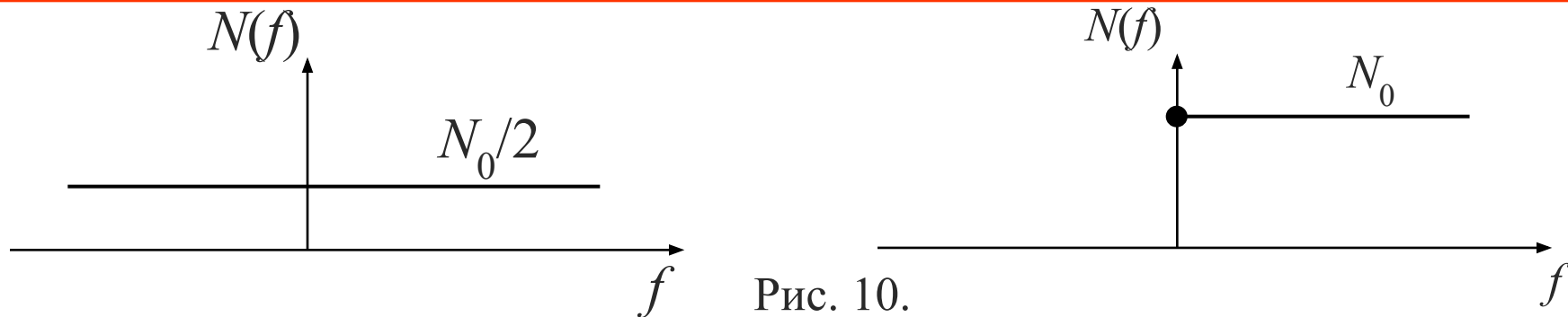
Рис. 9.

Найдем время корреляции квазиглового шума. Для этого воспользуемся выражением (4). Очевидно, что  $\rho(\tau)=0$  тогда, когда  $\sin 2\pi f_{\max} \tau = 0$ , т.е.  $2\pi f_{\max} \tau = n\pi$ ; где  $n = 1, 2, \dots$   $2f_{\max} \tau = 1; \Rightarrow \tau = 1/2f_{\max}$

Таким образом, с увеличением значения  $f_{\max}$  время корреляции уменьшается, т.е. чем шире спектр помехи, тем выше скорость изменения её мгновенных значений.

## Белый шум.

**Белым шумом** называется модель флуктуационной помехи с постоянной спектральной мощностью  $N_0$  на бесконечном интервале частот (т.е.  $f_{\text{макс}} \rightarrow \infty$ ). Для белого шума справедливы две модели спектральной плотности, представленные на рис.10.



Заменяя  $\cos 2\pi f\tau$  по формуле Эйлера, найдем корреляционную функцию белого шума

$$R(\tau) = \frac{N_0}{2} \int_0^{\infty} (e^{j2\pi f\tau} + e^{-j2\pi f\tau}) df = \frac{N_0}{2} \int_0^{\infty} e^{-j2\pi f\tau} df = \frac{N_0}{2} \delta(\tau) \quad (6)$$

где  $\int_{-\infty}^{\infty} e^{-2\pi f\tau} df = \delta(\tau)$  дельта - функция Дирака (рис. 11), обладающая свойством

$$\delta(\tau) = \begin{cases} \infty & \text{при } \tau=0 \\ 0, & \text{при } \tau \neq 0. \end{cases}$$

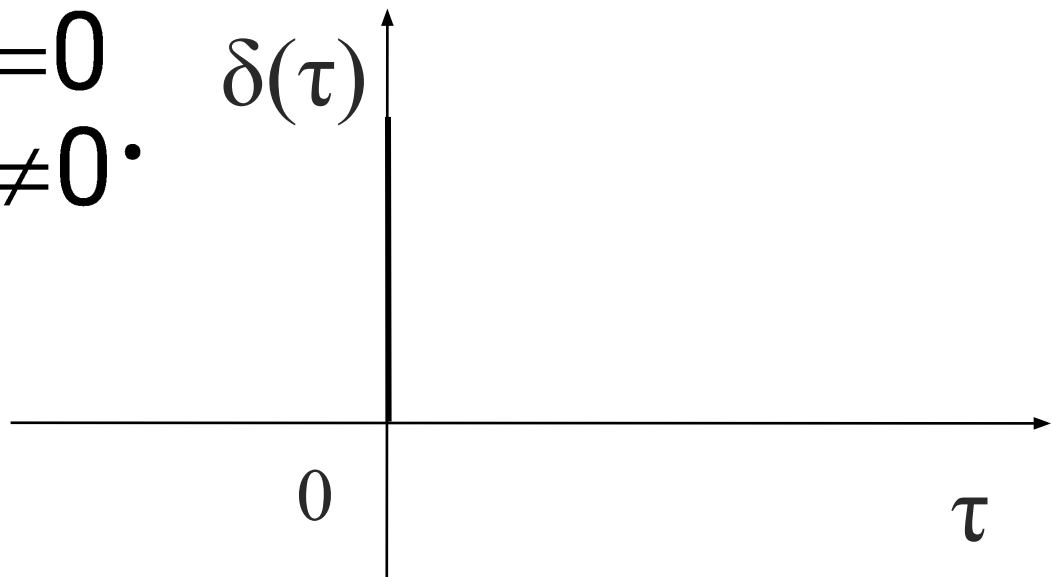


Рис. 11.

Из выражения (6) следует, что белый шум является дельта-коррелированным. Это означает бесконечно высокую скорость изменения его мгновенных значений и бесконечную мощность. Поэтому белый шум является абстракцией, удобной при анализе устройств обработки.

При синтезе оптимальных алгоритмов обработки РЛ сигналов, кроме корреляционных и спектральных характеристик помехи, требуется знание плотности вероятности её распределения.

### **Многомерная плотность вероятности помехи**

Случайную реализацию  $y(t) = n(t)$  можно однозначно задавать некоторой совокупностью своих дискретных значений. В этом случае принятая реализация

$$n(t) = n(t_1, t_2, \dots, t_m).$$

Такая замена возможна на основании теоремы Котельникова, согласно которой любая функция с ограниченным спектром полностью определяется отсчетом своих значений, взятыми через интервал

$$\Delta t = \frac{1}{2} f_{\max}.$$

## 2 В соответствии с теоремой Котельникова

$$n(t) = \sum_k n_k \psi_k(t).$$

где  $n_k$  - элемент выборки в момент времени  $t_k$ , а

$$\psi_k(t) = \frac{\sin 2\pi f_{\max}(t - t_k)}{2\pi f_{\max}(t - t_k)}.$$

Вид такой аппроксимации непрерывной функции можно

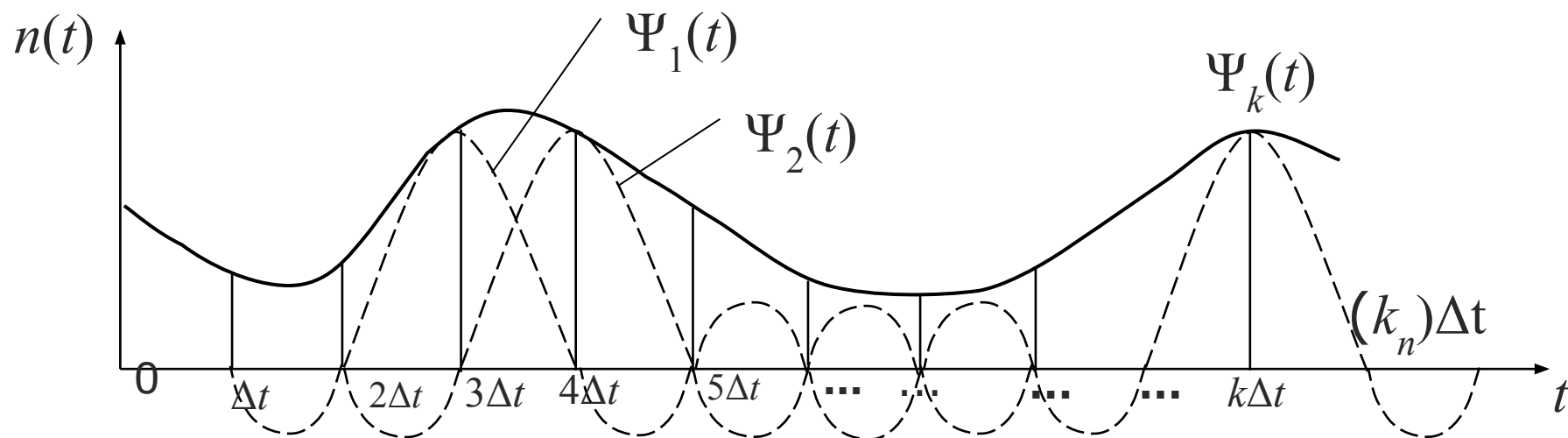


Рис. 12.

Замечательным свойством такого представления является то, что коэффициенты разложения  $\psi_k(t)$  - некоррелированы, а значит отсчеты  $y_k$  независимые случайные величины. Некоррелированность объясняется тем, что интервал дискретизации  $\Delta t = t_{k+1} - t_k$  равен интервалу корреляции помехи.

Поэтому при таком представлении помехи ее статистика может быть представлена плотностью вероятностей

$$P(\bar{n}) = P(n_1, n_2, \dots)$$

С учетом теоремы Котельникова элементы вектора  $\bar{n}$  независимы,

поэтому

$$P(\bar{n}) = \prod_k P(n_k)$$

где  $P(n_k)$  - одномерная плотность.

Подставляя в  $P(n_k)$  значение мощности помехи, например, для квазиглобального шума, получим

$$P(n_k) = \frac{1}{\sqrt{2\pi}\sigma} e^{-\frac{n_k^2}{2\sigma^2}} = \frac{1}{\sqrt{2\pi N_0 f_{\max}}} e^{-\frac{n_k^2}{2N_0 f_{\max}}} = \sqrt{\frac{\Delta t}{\pi N_0}} e^{-\frac{n_k^2 \Delta t}{N_0}}$$

В общем случае, используя векторно-матричную запись, плотность вероятности  $m$ -элементной выборки нормально распределенного квазибелого шума можно представить в виде:

$$P(\mathbf{n}) = (2\pi\sigma^2)^{-\frac{m}{2}} \exp\left(-\frac{1}{2\sigma^2} \mathbf{n}^T \mathbf{n}\right).$$



# Выводы по второму вопросу

Таким образом, полной статистической характеристикой колебаний помехи является плотность вероятности. Колебания помехи описывают также с помощью корреляционной функции и спектральной плотности мощности.

# Вопрос 3

СТРУКТУРА И МАТЕМАТИЧЕСКАЯ  
МОДЕЛЬ  
МЕШАЮЩИХ ОТРАЖЕНИЙ

Мешающие отражения обусловлены вторичным излучением поверхностно и объёмно распределенных отражателей, которые занимают достаточно большой объем пространства, превышающий разрешаемый объем. Мешающие отражения представляют собой результат наложения случайно возникающих элементарных сигналов с флюктуирующими амплитудой и фазой и поэтому является случайным процессом с нормальной плотностью распределения вероятностей.

Общей особенностью мешающих отражателей является прямая связь с зондирующим сигналом. Поэтому математическая модель мешающих отражений почти не отличается от математической модели полезных отраженных сигналов

$$N(t) = \sum_{k=1}^N b_k(t) X(t - t_k) e^{j[2\pi(f_{\text{д}} + F_k)t + \varphi_k(t) + b_k]},$$

где  $N$  - количество элементарных участков пространства отражателей.

4  
8  
Процесс формирования отраженного сигнала от мешающих отражателей поясним с помощью следующих графиков (рис. 13).

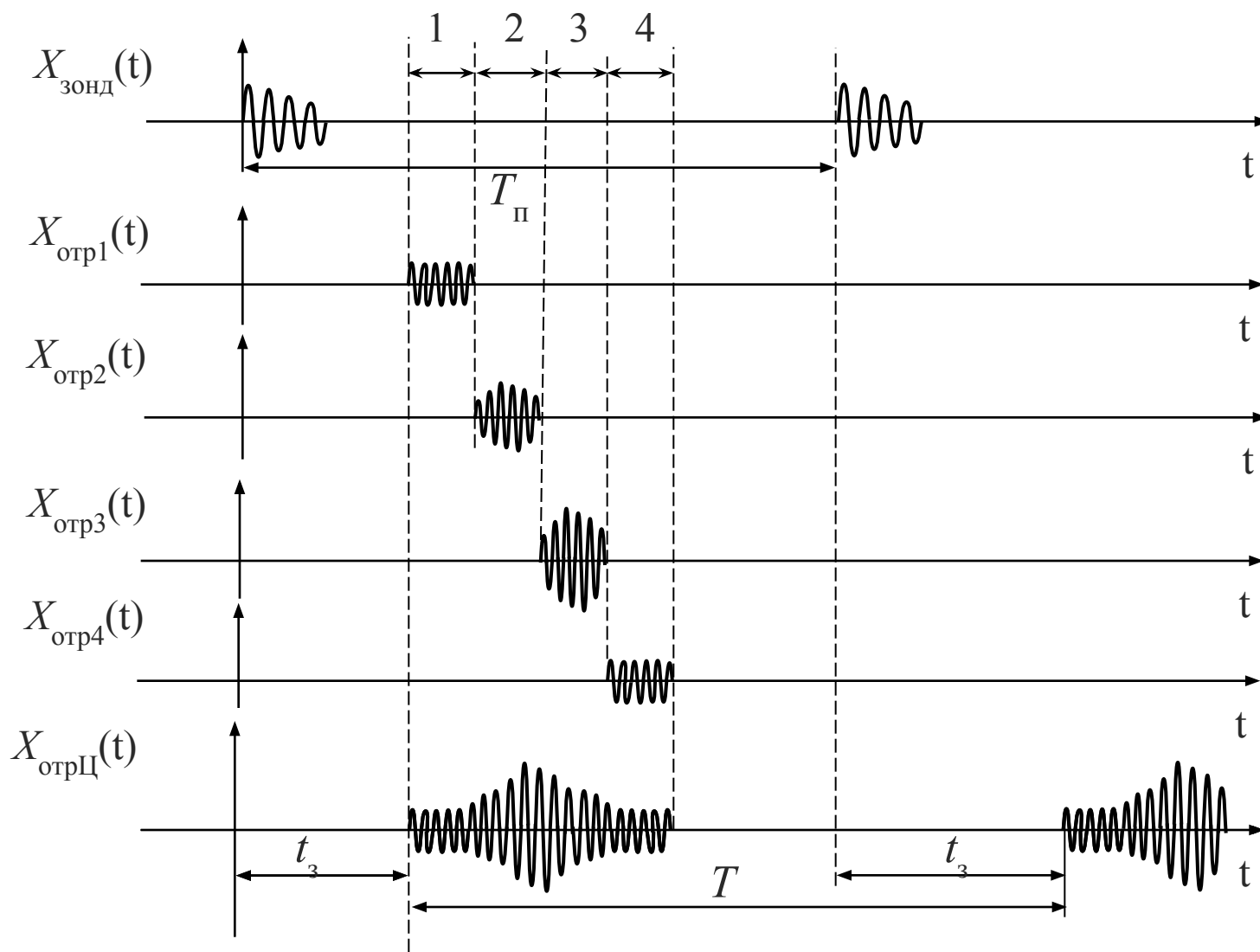


Рис. 13.

2  
9 Когда отражатели сосредоточены в отдельных разрешаемых объёмах, помеха носит имитирующий характер, когда они распределены и захватывают несколько разрешаемых объемов, - маскирующий.

Внутрипериодная структура мешающих отражений подобна структуре шумового процесса, длительность которого соответствует реальной протяженности элементарных отражателей, попавших в характеристику направленности антенны РЛС.

При отражении ЗС от различных частей протяженного облака рассеивателей происходит «размывание» его закона модуляции. Это приводит к тому, что модель мешающих отражений нельзя представить в отличие от полезного сигнала произведением комплексной огибающей и комплексного закона модуляции ЗС ( $t_{31} \neq t_{32} \neq t_{33} \neq \dots \neq t_{3k}$  и т.д.).

Энергетический спектр мешающих отражений определяется как прямое преобразование Фурье от корреляционной функции

$$S_{\Pi}(f) = \int_{-\infty}^{\infty} R_{\Pi}(\tau) e^{-j2\pi t\tau} dt.$$



Поэтому при использовании периодического ЗС энергетический спектр мешающих отражений оказывается гребенчатым с огибающей, определяемой энергетическим спектром одиночного зондирующего сигнала (рис. 14).

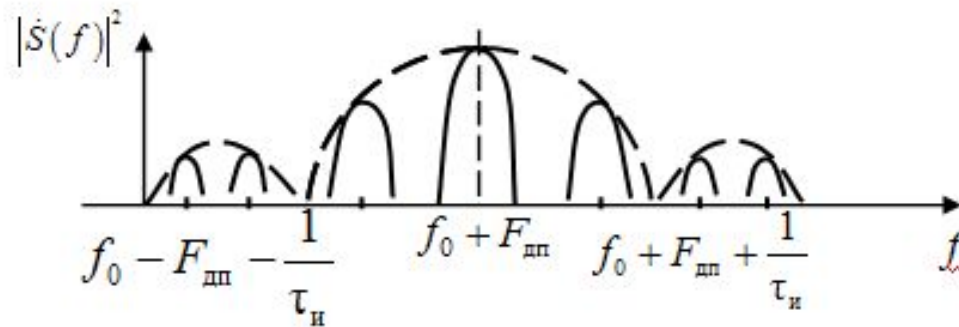


Рис. 14.

Отраженные от цели сигналы и маскирующие пассивные помехи имеют определенные отличия, связанные с различиями целей и отражателей, создающих пассивную помеху. К числу основных различий можно отнести:

- распределенный характер мешающих отражателей и близкий к сосредоточенному - блестящих элементов цели. Поэтому, повышая разрешающую способность по координатам и сокращая при этом размеры разрешаемого объема (во всяком случае, до размеров, превышающих размеры самолета), можно добиться улучшения наблюдаемости сигнала на фоне пассивных помех;



- отличия в поляризации отраженных сигналов наблюдаются, если пассивная помеха создается, например, гидрометеорами (дождь, тучи), состоящими из мелких капель, имеющих форму шара. Если гидрометеоры облучаются колебаниями с круговой поляризацией, то они отражают колебания также с круговой поляризацией, но с обратным (если смотреть в направлении распространения волны) вращением плоскости поляризации. Если приемная антенна не воспринимает колебания с такой поляризацией, она тем не менее может принимать колебания от целей, обладающих несимметрией структуры;

- различия в скорости перемещения мешающих отражателей и цели. Скорость перемещения наземных мешающих отражателей относительно наземной радиолокационной станции равна нулю, в то время как представляющие практический интерес цели перемещаются с достаточно большой скоростью.

Если пассивная помеха создается противорадиолокационными отражателями, то эти отражатели, будучи сброшены с самолета, быстро теряют первоначальную скорость, приобретая скорость, близкую к скорости ветра.

Различия в радиальных скоростях целей и отражателей могут быть использованы для селекции по скорости (иначе по эффекту движения цели) называют селекцией движущихся целей (СДЦ).

# Выводы по третьему вопросу

Таким образом, из рассмотрения статистических характеристик мешающих отражений следует:

- 1. Корреляционные свойства мешающих отражений определяются корреляционными свойствами ЗС и корреляционными свойствами, вносимыми случайными перемещениями элементарных отражателей.**
- 2. Энергетический спектр мешающих отражений подобен энергетическому спектру отраженного сигнала, отличается от него доплеровским сдвигом по частоте  $F_{дп}$  и расширением спектра.**
- 3. Отличия характеристик и мешающих отражений позволяют осуществлять их селекцию.**

# 3 Заключение и указания по отработке материала лекции

1. При отражении от движущейся блестящей точки зондирующий сигнал претерпевает:
  - трансформацию временного масштаба;
  - трансформацию частоты.
2. При отражении от реальной цели отраженный сигнал приобретает случайный характер.
3. Основными статистическими характеристиками отраженных сигналов являются:
  - закон распределения вероятностей амплитуды и фазы;
  - автокорреляционная функция флуктуаций и энергетический спектр.
4. Основными статистическими характеристиками шумов и помех являются:
  - плотность распределения мгновенных значений;
  - корреляционная функция;
  - энергетический спектр.

5. Основными моделями внутреннего шума и флуктуационной помехи

являются:

- квазибелый шум;
- белый (дельтакоррелированный) шум.

6. Основными отличиями сигналов от целей и мешающих отражений

являются:

- поляризационные;
- пространственные (распределенный характер помехи и сосредоточенный - цели);
- скоростные (различия в скорости перемещения мешающих отражателей и цели).



# *Задание на самостоятельную подготовку:*

**Отработать материал лекции в соответствии с  
рекомендованной литературой:  
Л 1/о с. 49-65**